

Dissection of genotype × environment interaction and yield stability analysis in durum wheat using SHMM and GGE biplot models

Tohid Najafi Mirak¹, Manouchehr Dastfal², Manouchehr Sayyahfar³, Hossein Farzadi⁴, Shahryar Sasani⁵, Hassan Zali*⁶

1. Professor, Seed and Plant Improvement Department, Agricultural Research, Education and Extension Organization (AREEO), Karaj, Iran.
2. Res. Instructor, Crop and Horticultural Science Research Department, Fars Agricultural and Natural Resources Research and Education Center, Agricultural Research, Education and Extension Organization (AREEO), Darab, Iran.
3. Assistant Prof., Crop and Horticultural Science Research Department, Lorestan Agricultural and Natural Resources Research and Education Center, Agricultural Research, Education and Extension Organization (AREEO), Khorramabad, Iran.
4. Res. Instructor, Crop and Horticultural Science Research Department, Dezful Agricultural and Natural Resources Research and Education Center, Agricultural Research, Education and Extension Organization (AREEO), Dezful, Iran.
5. Associate Prof., Crop and Horticultural Science Research Department, Kermanshah Agricultural and Natural Resources Research and Education Center, Agricultural Research, Education and Extension Organization (AREEO), Kermanshah, Iran.
6. Assistant Prof., Crop and Horticultural Science Research Department, Fars Agricultural and Natural Resources Research and Education Center, Agricultural Research, Education and Extension Organization (AREEO), Darab, Iran.

Citation: Najafi Mirak, T., Dastfal, M., Sayyahfar, M., Farzadi, H., Sasani, SH., Zali, H. (2024) Dissection of genotype × environment interaction and yield stability analysis in durum wheat using SHMM and GGE biplot models. *Plant Productions*, 47(2), 161-178

Abstract

Introduction

Durum wheat (*Triticum turgidum* L. var. durum) is an important crop for the human diet grown in many parts of the world predominantly for semolina and resulting pasta production. The presence of genotype × environment interaction (GEI) is a challenge for breeders in evaluating genotypes in multilocational trials. The use of statistical models such as GGE biplot assist breeders in quantifying and understanding the patterns of GEI and in evaluating the performance of genotypes in various environmental conditions. This allows breeders to select stable and adaptable genotypes for a range of environments. One of the important goals of durum wheat breeding programs is to produce high-yielding cultivars that have suitable characteristics for cultivation in different regions of the country. Therefore, the aim of this research was to select promising durum wheat lines in terms of stability and high grain yield by GGE biplot and SHMM models.

* Corresponding Author: Hassan Zali
E-mail: Hzali90@yahoo.com



Materials and Methods

In this study, 17 promising lines of durum wheat with three check Hana, Aran, Mehregan in five research centers of Kermanshah, Khorramabad, Karaj, Dezful and Fars (Darab) in the form of randomized complete blocks design in 3 replications and in two cropping seasons (2020-2022) were cultivated and compared. The studied genotypes were planted in six lines along 6 m with a line distance of 15 cm. Seed rate was determined by 450 seeds per square meter considering the thousand kernel weight for each genotype. Seeds were sown using an experimental plot planter (Wintersteiger, Ried, Austria). The fertilizer composition was 32 kg ha⁻¹ nitrogen (twice), and di-ammonium phosphate and potassium sulfate were 100 and 50 kg ha⁻¹, respectively (before planting). After the removal of perimeter plants, all experimental plots were harvested with an experimental grain harvester (Wintersteiger, Ried, Austria).

Results and Discussion

The results of the combined variance analysis of grain yield showed that the differences between the test environments, genotypes and genotype x environment interaction effect are significant at the 1% level. The highest grain yield in the first year was observed in Kermanshah station (Ker1) (8441 kg ha⁻¹) and the lowest seed yield in Khorramabad in the first year (Kho1) (5648 kg ha⁻¹) and Karaj in the second year (Kar2) (5961 kg ha⁻¹). GGE biplot analysis determined two durum wheat environmental groups. The first environmental group contained of Kho1, Dar1, Kar1, Kar2 and Dar2 environments, where the recommended genotypes 18, 17, 2 and 19 produced the highest yields. The second environmental group comprised of Kho2, Dez1, Ker2, Dez2 and Ker1 environments, where genotypes 12, 9 and 8 were the best adapted genotypes. Biplot results showed that genotypes 10, 5, 13, 18 and 16 were more stable than other genotypes, respectively. Comparison of the examined genotypes with the ideal genotype showed that genotypes 18 and 10 are the closest genotypes to the ideal genotype, which in addition to high grain yield, had high yield stability. Dar2 was the closest environment to the ideal environment. The results showed that the classification of environments based on the SHMM model was completely consistent with the GGE biplot model. Based on environmental vector of the biplot, Dar2 and Ker1 had high discriminating ability for the genotypes. Also, Dezful in the first and second year (Dez1 and Dez2), Karaj in the second year (Kar2) and Kermanshah in the second year (Ker2) showed low discriminating ability for genotypes. The environments that were placed in the same group were close to each other in terms of genotype x environment interaction values. Based on the SHMM model, the environments with the least cross over effects are placed in one group. Accordingly, the placement of Kermanshah and Dezful in the same group indicates the relative similarity of these places. Also, these results were confirmed by the GGE biplot model.

Conclusion

As a conclusion, GGE biplot identified G10 (DW-99-10) and G18 (DW-99-18) as the superior durum wheat genotypes which can be released as new commercial cultivars for the temperate and warm regions of Iran.

Keywords: Grain yield, Heat map, Multivariate methods, Promising genotypes, Yield performance

تجزیه پایداری عملکرد گندم دوروم با استفاده از مدل‌های SHMM و GGE بای‌پلات

^۱ توحید نجفی میرک، ^۲ منوچهر سیاح فر، ^۳ حسین فرزادی، ^۴ شهریار ساسانی^۵، ^۶ حسن زالی*

- ۱- استاد پژوهشی، بخش تحقیقات اصلاح و تهیه نهال و بذر، سازمان تحقیقات، آموزش و ترویج کشاورزی، کرج، ایران.
- ۲- مری پژوهشی، بخش تحقیقات علوم زراعی و باغی، مرکز تحقیقات و آموزش کشاورزی و منابع طبیعی فارس، سازمان تحقیقات، آموزش و ترویج کشاورزی، داراب، ایران.
- ۳- استادیار پژوهشی، بخش تحقیقات علوم زراعی و باغی، مرکز تحقیقات و آموزش کشاورزی و منابع طبیعی لرستان، سازمان تحقیقات، آموزش و ترویج کشاورزی، خرم‌آباد، ایران.
- ۴- مری پژوهشی، بخش تحقیقات علوم زراعی و باغی، مرکز تحقیقات و آموزش کشاورزی و منابع طبیعی صفائی آباد دزفول، سازمان تحقیقات، آموزش و ترویج کشاورزی، دزفول، ایران.
- ۵- دانشیار پژوهشی، بخش تحقیقات علوم زراعی و باغی، مرکز تحقیقات و آموزش کشاورزی و منابع طبیعی کرمانشاه، سازمان تحقیقات، آموزش و ترویج کشاورزی، کرمانشاه، ایران.
- ۶- استادیار پژوهشی، بخش تحقیقات علوم زراعی و باغی، مرکز تحقیقات و آموزش کشاورزی و منابع طبیعی فارس، سازمان تحقیقات، آموزش و ترویج کشاورزی، داراب، ایران.

چکیده

گندم دوروم (*Triticum turgidum L. var. durum*) یک محصول مهم برای رژیم غذایی انسان است که در بسیاری از نقاط جهان عمدهاً برای سمولینا و در نتیجه تولید ماکارونی کشت می‌شود. به منظور بررسی پایداری عملکرد دانه، ۱۷ لاین امیدبخش گندم دوروم به همراه دوازده گندم دوروم (هانا و آران) و یک شاهد گندم نان (مهرگان) در مرکز تحقیقات کشاورزی و منابع طبیعی کرمانشاه، خرم‌آباد، کرج، دزفول و فارس (داراب) مقایسه شدند. این تحقیق در قالب طرح بلوك‌های کامل تصادفی با ۳ تکرار و در دو سال زراعی (۱۴۰۱-۱۳۹۹) انجام شد. نتایج تجزیه واریانس مرکب عملکرد دانه نشان داد اختلاف بین محیط‌های اجرای آزمایش، ژنتیک‌ها و اثر متقابل ژنتیک × محیط در سطح ۱ درصد معنی‌دار نیست. بیشترین عملکرد دانه در سال اول اجرای آزمایش در کرمانشاه (Ker1) (۸۴۴۱ کیلوگرم در هکتار) و کمترین عملکرد دانه در خرم‌آباد در سال اول (Kho1) (۵۶۴۸ کیلوگرم در هکتار) و کرج در سال دوم (Kar2) (۵۹۶۱ کیلوگرم در هکتار) مشاهده شد. با توجه به نتایج GGE بای‌پلات، دو گروه محیطی مشخص گردید. اولین گروه محیطی شامل محیط‌های Kar2, Kar1, Dar1, Kho1, Ker1, Dez2, Dez1, Kho2 و Ker2 بود و ژنتیک‌های ۱۸، ۱۷، ۲ و ۱۹ جزء ژنتیک‌های برتر در این محیط‌ها بودند. دومین گروه محیطی شامل Dar2, Dar1, Kho2, Ker2, Dez1, Dez2 و Ker1 بود و ژنتیک‌های ۹، ۶، ۱۲ و ۸ جزء ژنتیک‌های برتر در این محیط‌ها بودند. نتایج بای‌پلات نشان داد ژنتیک‌های ۱۰، ۱۳، ۵، ۱۸ و ۱۶ به ترتیب پایداری عملکرد بیشتری نسبت به سایر ژنتیک‌ها داشتند. مقایسه ژنتیک‌های مورد بررسی با ژنتیک‌های ایده‌آل نشان داد که ژنتیک‌های ۱۸ و ۱۰ به ترتیب

* نویسنده مسئول: حسن زالی

رایانامه: Hzali90@yahoo.com

نجمی میرک و همکاران: تجزیه پایداری عملکرد گندم دوروم با...

نژدیک ترین ژنوتیپ‌ها به ژنوتیپ ایده‌آل می‌باشند که علاوه بر عملکرد بالای دانه، دارایی پایداری عملکرد بالا نیز هستند. همچنین، Dar2 نزدیکترین محیط به محیط ایده‌آل بود. نتایج نشان داد دسته‌بندی محیط‌ها بر اساس مدل SHMM کاملاً با مدل GGE با پلات انطباق داشت. محیط‌های Dar2 و Ker1 نسبت به سایر محیط‌ها از قابلیت تمایز بالایی برخوردار بودند. در نهایت نتایج نشان داد که ژنوتیپ‌های ۱۸ (DW-99-10) و ۱۰ (DW-99-18) جزء بهترین ژنوتیپ‌ها از نظر عملکرد دانه بالا و پایداری عملکرد هستند. این لاین‌ها در آزمایشات تحقیقی - ترویجی در شرایط زارعین مورد بررسی بیشتر قرار خواهند گرفت و هر کدام از آنها که در مزارع زارعین نیز برتری خود را نشان دهد به عنوان رقم جدید برای مناطق معتدل و گرم کشور معرفی خواهد شد.

کلید واژه‌ها: روش‌های چندمتغیره، ژنوتیپ‌های امیدبخش، عملکرد دانه، کارایی عملکرد، نقشه حرارتی

می‌دهد و مانع پیشرفت ژنتیکی در برنامه‌های اصلاح نباتات می‌شود. بنابراین، به حداقل رساندن اثرات GEI یکی از اهداف اصلی هر برنامه اصلاحی است (Rodrigues *et al.*, 2014; Amelework *et al.*, 2023). GEI را می‌توان با استفاده از روش‌های مختلف چندمتغیره به صورت گرافیکی و عددی تجزیه و تحلیل کرد. در میان روش‌های آماری، مدل اثرات اصلی افرایشی و برهمکنش ضربی (AMMI) و مدل‌های اثر اصلی ژنوتیپ (G) به علاوه GEI بسیار مورد توجه هستند، زیرا این مدل‌ها به اصلاح کنندگان در درک الگوهای GEI و ارزیابی عملکرد ژنوتیپ‌ها کمک می‌کنند. تحت شرایط محیطی مختلف، این مدل‌ها به اصلاح کنندگان اجازه می‌دهند تا ژنوتیپ‌های پایدار و سازگار را برای بسیاری از محیط‌ها انتخاب کنند (Hossain *et al.*, 2013). استفاده از روش‌های چندمتغیره مانند مدل‌های AMMI و GGE دارای مزایای متعددی نسبت به روش‌های دیگر هستند. مدل GGE با پلات که نتایج را به شکل تصاویر گرافیکی ارائه می‌دهد، برای تفسیر GEI بسیار مفید است. با استفاده از این مدل، اصلاح کنندگان می‌توانند یک ژنوتیپ با عملکرد بالا در یک محیط تولید هدف انتخاب کنند و یا محیط هدف را برای یک ژنوتیپ خاص شناسایی کنند (Gauch, 2006).

برهمکنش ژنوتیپ × محیط یا از نوع برهمکنش غیر مقاطع (Non-crossover interaction) و یا

مقدمه

Triticum turgidum L. var. (*durum*) یکی از غلات مهم است که در حدود ۱۷/۷ میلیون هکتار از اراضی کشاورزی سراسر جهان با میزان تولید سالانه ۳۷ تا ۴۰ میلیون تن کشت می‌شود (International Grains Council, 2021). دوروم به واسطه خصوصیاتی که آرد آن دارد عمدها در صنایع تولید ماکارونی مورد استفاده قرار می‌گیرد (Gonzalez-Segura *et al.*, 2014). یکی از اهداف مهم برنامه‌های بهزادی گندم دوروم، تولید ارقام پرمحصول که دارای ویژگی‌های مناسبی برای کشت در مناطق مختلف کشور باشند (Dastfal *et al.*, 2022).

روش‌هایی که برای تجزیه محیط و تعیین پایداری و سازگاری ژنوتیپ‌ها مورد استفاده قرار می‌گیرند، به طور مداوم در حال تکامل می‌باشند تا ارزیابی ژنوتیپ‌ها و مطالعه مولفه‌های برهمکنش محیطی با دقت بیشتری صورت گیرد (Taleghani *et al.*, 2023).

با تجزیه و تحلیل برهمکنش ژنوتیپ × محیط (GEI; genotype × environment interaction)، ژنوتیپ‌های جدید سازگار با محیط‌های مختلف را می‌توان شناسایی کرد (Linus *et al.*, 2023). برای متغیرهای کمی مانند عملکرد دانه، GEI به طور قابل توجهی توانایی انتخاب ژنوتیپ‌های برتر را محدود می‌کند (Anderson *et al.*, 2014). در واقع، اثر GEI همبستگی بین ارزش‌های ژنتیکی و فنوتیپی را کاهش

گروه قرار گرفتند (Esmaeilzadeh Moghadam *et al.*, 2018). در تحقیقی دیگر برای گروه‌بندی ایستگاه- SHMM های کشت جو در اقلیم گرم کشور از روش SHMM استفاده شد. گروه‌بندی مکان‌ها بر مبنای مدل SHMM دو گروه ایجاد کرد. گروه اول شامل ایستگاه‌های اقلیم گرم جنوب کشور و گروه دوم شامل ایستگاه‌های گرم شمال کشور بود. در این بررسی روش SHMM به عنوان یک روش مناسب برای دسته‌بندی مکان‌های مورد آزمایش معرفی شد (Barati *et al.*, 2020).

هدف از این تحقیق، معرفی ژنوتیپ‌های امیدبخش گندم دوروم دارای عملکرد دانه بالا و پایدار جهت معرفی و کشت در اقلیم‌های مختلف کشور با استفاده از مدل‌های آماری چندمتغیره بود.

مواد و روش‌ها

به منظور بررسی پایداری عملکرد دانه، ۱۷ لاین امیدبخش گندم دوروم به همراه دو شاهد گندم دوروم (هانا و آران) و یک شاهد گندم نان (مهرگان) (جدول ۱) در پنج مرکز تحقیقاتی کشاورزی و منابع طبیعی شامل کرمانشاه، خرم‌آباد، کرج، دزفول و فارس (ایستگاه داراب) مقایسه شدند. این تحقیق در قالب طرح بلوک-های کامل تصادفی با ۳ تکرار و در دو سال زراعی (۱۴۰۱-۱۳۹۹) انجام شد. شجره لاین‌های مورد بررسی در جدول ۱ نشان داده شده است. زمین مورد کشت تحت تناوب دو ساله غلات-آیش بوده و عملیات تهیه زمین شامل یک نوبت شخم بهاره، یک نوبت دیسک، دو بار لولر عمود برهم، کودپاشی و ایجاد فارو بود. بذور آزمایشی قبل از کاشت به منظور جلوگیری از سیاهک پنهان با اسم قارچ کش تبوکونازول (Tebuconazole) به نسبت ۲ در هزار ضدمفعونی شدند. میزان بذر مصرفی بر اساس ۴۵۰ بذر در متر مربع برای هر ژنوتیپ تعیین شد و کاشت با استفاده از دستگاه بذرکار آزمایشی غلات (Wintersteiger, Austria) انجام شد. میزان مصرف کود شیمیایی به صورت ۵۰ کیلو گرم در هکتار سولفات

برهمکنش متقاطع (Crossover interaction) می‌باشد (Baye *et al.*, 2011). در یک برنامه‌ی اصلاحی هنگامی که برهمکنش از نوع غیرمتقاطع باشد، می‌توان آن را نادیده گرفت و تنها بر پایه عملکرد داوری کرد. اما اگر برهمکنش از نوع متقاطع باشد، می‌بایستی اثر گذاری ژنوتیپ و برهمکنش ژنوتیپ × محیط به طور هم‌زمان در نظر گرفته شود و نباید تنها تأثیر ژنوتیپ را مدنظر قرار داد (Yan and Kang, 2003). مدل Shifted SHMM (multiplicative model) به منظور گروه‌بندی ژنوتیپ-ها یا محیط‌ها معرفی شده است (Seyedsadr and Cornelius, 1992). روش SHMM قابلیت بالایی برای تشخیص برهمکنش غیرمتقاطع از متقاطع دارد (Yan and Kang, 2003). رسم نمودار خوش‌های به روش پیوستگی کامل و بر پایه شاخص فاصله بدست آمده در مدل SHMM، این امکان را برای اصلاح گر وجود می‌آورد که گروه‌هایی از محیط‌ها که در آن اثر متقابل باعث تغییر رتبه ژنوتیپ‌ها نمی‌شود، را شناسایی کند (Crossa *et al.*, 1993). از توانمندی بالای این روش کاربرد آن با تعداد محیط و یا ژنوتیپ بسیار زیاد است. استفاده از مدل SHMM در بسیاری از تحقیقات به منظور دسته‌بندی محیط‌ها و ژنوتیپ‌ها گزارش شده است (Cornelinus *et al.*, 1992; Crossa and Cornelius, 1993; Karimizadeh and Mohammadi, 2015; Esmaeilzadeh-Moghaddam *et al.*, 2018).

در یک بررسی به منظور شناسایی محیط‌های بزرگ در ژنوتیپ‌های گندم نان از نظر عملکرد دانه و با استفاده از داده‌های ۹۶۳ آزمایش از مدل‌های SHMM و SREG شد و مکان‌های مورد بررسی در چهار گروه دسته‌بندی نمودند (Threthowan *et al.*, 2003). در تحقیقی به منظور بررسی پایداری عملکرد دانه در ژنوتیپ‌های گندم نان در مناطق گرم و خشک و هم‌چنین دسته‌بندی محیط‌های مورد بررسی از روش SHMM استفاده شد. در این تحقیق ۱۲ محیط مورد بررسی در ۳

نجفی میرک و همکاران: تجزیه پایداری عملکرد گندم دوروم با...

η_{2j} به ترتیب بردارهای ویژه محیط زام برای PC1 و PC2 می‌باشد (Yan *et al.*, 2000).

معادله مدل تجزیه SHMM با N مؤلفه ضرب-پذیر، به منظور بررسی برهمکنش ژنوتیپ × محیط به صورت رابطه ۳ می‌باشد (Seyedsadr and Cornelius, 1992)

$$\bar{Y}_{ij} = \beta + \sum_{n=1}^N \lambda_n \gamma_{in} \delta_{jn} + \rho_{ij} \quad (3)$$

در جدول دو طرفه با g ژنوتیپ و e محیط، λ_n میانگین ژنوتیپ آن در محیط زام، β پارامتر تغییر؛ γ_{in} مقدار منفرد برای n مؤلفه؛ δ_{jn} و ρ_{ij} به ترتیب اثرات اولیه ژنوتیپ آن و محیط زام؛ γ_{i2} و δ_{j2} اثرات ثانویه ژنوتیپ آن و محیط زام و غیره و ρ_{ij} باقی‌مانده غیرقابل توضیح به وسیله مؤلفه‌های اولیه، ثانویه و غیره است.

به منظور رسم نمودارهای GGE با پلات و تجزیه واریانس مرکب داده‌ها از بسته تجزیه آزمایش‌های چندمحیطی (metan) در محیط برنامه‌نویسی R استفاده شد (Olivoto and Nardino, 2020). برای محاسبه مدل SHMM از نرم‌افزار SAS استفاده شد.

پتانس و ۱۰۰ کیلوگرم در هکتار دی آمونیوم فسفات به صورت پایه و قبل از کاشت بود. از طرفی کود اوره به صورت سرک به مقدار ۱۵۰ کیلوگرم در هکتار در مراحل پنجه‌زنی و ساقه‌رفتن از طریق آب آبیاری به زمین اضافه شد. هر کرت آزمایشی شامل ۲ پشته به عرض ۶۰ سانتی‌متر بود که روی هر پشته ۳ خط ۵ متری به فاصله ۲۰ سانتی‌متر کشت شد. برای مبارزه با علف‌های هرز پهن-برگ و باریک‌برگ به ترتیب از بوکتریل یونیورسال (Buctril universal) و تراکسوس (Traxos) هر کدام به مقدار ۱/۵ لیتر در هکتار استفاده شد. برای برآورد عملکرد دانه پس از حذف حاشیه، برداشت همه کرت (۶ متر مربع) با استفاده از کمباین آزمایشی غلات (Wintersteiger, Austria) انجام شد.

مدل GGE با پلات

روش GGE با پلات، اثر ژنوتیپ (G) و برهمکنش ژنوتیپ × محیط (GE) را با هم حفظ می‌کند و GGE را به دو جزء ضربی تجزیه می‌کند. مدل استفاده شده در GGE با پلات به صورت رابطه ۱ است:

$$Y_{ij} - \mu - \beta_j = g_{i1}e_{1j} + g_{i2}e_{2j} + \varepsilon_{ij} \quad (1)$$

که در آن g_{i1} و g_{i2} را نمرات اولیه برای ژنوتیپ i و محیط j گویند، e_{1j} و e_{2j} را نمرات ثانویه برای ژنوتیپ i و محیط j می‌نامند و ε_{ij} با قیماندهای است که به وسیله اثرات اولیه و ثانویه توضیح داده نمی‌شود.

یک با پلات GGE با رسم g_{i1} در مقابل g_{i2} و e_{1j} در مقابل e_{2j} در یک نمودار پراکنش، رسم می‌شود. نمرات اولیه از طریق تجزیه به مقادیر منفرد (SVD)^۱ تجزیه می‌شوند که معادله به صورت رابطه ۲ تبدیل می‌شود:

$$Y_{ij} - \mu - \beta_j = \lambda_1 \xi_{i1} \eta_{1j} + \lambda_2 \xi_{i2} \eta_{2j} + \varepsilon_{ij} \quad (2)$$

در این معادله λ_1 و λ_2 به ترتیب مقادیر منفرد اولین و دومین مؤلفه اصلی (PC2 و PC1)، ξ_{i1} و ξ_{i2} به ترتیب بردارهای ویژه ژنوتیپ آن برای PC1 و PC2 و η_{1j} و

Table 1. Pedigree of examined durum wheat promising lines in 2020-2022 cropping seasons.

| Genotypes | Code | Pedigree |
|-----------|----------|--|
| G1 | DW-99-1 | Aran (Check) |
| G2 | DW-99-2 | Hana (Check) |
| G3 | DW-99-3 | Mehregan (Check) |
| G4 | DW-99-4 | GERUFTEL-1//GUAYACAN INIA/2*SNITAN |
| G5 | DW-99-5 | CEMEXI C 2008/5/2*GUAYACAN INIA/POMA_2//SNITAN/4/D86135/ACO89//PORRON_4/3/ SNITAN |
| G6 | DW-99-6 | ALTAR 84/BINTEPE 85/3/STOT//ALTAR 84/ALD/4/POD_11/YAZI_1/5/VANRRIKSE_12/SNITAN /6/ SOOTY_9/RASCON_37//WODUCK/CHAM_3/10/CHEN_1/TEZ/3/GUIL//CIT71/CII/4/ SORA /PLATA_12/5/STOT//ALTAR 84/ALD/9/USDA595/3/D67.3/RABI//CRA/4/ALO/5/HUI/YAV_1/6/ ARDENTE/7/ HUI/ YAV79 |
| G7 | DW-99-7 | TUNSYR-2/6/ALTAR 84/STINT//SILVER_45/3/GUANAY/4/GREEN_14//YAV_10/AUK/5/ SOMAT_4/ INTER_8/10/SWAHEN_2/KIRKI_8//PROZANA_1/4/ADAMAR_15//ALBIA_1/ALTAR 84/3/SNITAN/9/ GUAYACAN INIA/GUANAY/8/GEDIZ/FGO//GTA/3/SRN_1/4/TOTUS/5/ ENTE/MEXI_2//HUI/4/ YAV_1/3/LD357E/2 |
| G8 | DW-99-8 | CEMEXI C 2008/5/2*GUAYACAN INIA/POMA_2//SNITAN/4/D86135/ACO89//PORRON_4/3/ SNITAN |
| G9 | DW-99-9 | CIRNO C 2008/5/CMH85.797//CADO/BOOMER_33/4/ARMENT//SRN_3/NIGRIS_4/3/CANELO _9.1 |
| G10 | DW-99-10 | SOMAT_3/PHAX_1//TILO_1/LOTUS_4/3/GUANAY/5/NETTA_4/DUKEM_12//RASC ON_19/3/SORA/2*PLATA_12/4/GREEN_18/FOCHA_1//AIRON_1/6/PLATA_6/GREE N_17/3/CHEN/AUK//BISU*2/5/PLATA_3//CREX/ALLA/3/SOMBRA_20/4/SILVER_14 /MOEWE |
| G11 | DW-99-11 | SWAHEN_2/KIRKI_8//PROZANA_1/4/ADAMAR_15//ALBIA_1/ALTAR 84/3/SNITAN/9/GUAYACAN INIA/GUANAY/8/GEDIZ/FGO//GTA/3/SRN_1/4/TOTUS/5/ ENTE/MEXI_2//HUI/4/YA V_1/3/LD357E/2*TC60//JO69/6/SOMBRA_20/7/JUPARE C 2001/10/PLATA_6/GREEN_17/3/CHEN/AUK//BISU*2/5/ PLATA_3// |
| G12 | DW-99-12 | MOHAWK/6/LOTUS_5/F3LOCAL(SEL.ETHIO.135.85)/5/CHEN/ALTAR 84/3/HUI/POC//BUB/ RUFO /4/FNFOOT/7/SORA/2*PLATA_12/3/SORA/2*PLATA_12//SOMAT_3/4/AJAIA_13/YA ZI //DIPPER_2/ BUSHEN_3 |
| G13 | DW-99-13 | GEROMTEL-3/5/ARMENT//2*SOOTY_9/RASCON_37/4/CNDO/PRIMADUR//HAI- OU_17/3/SNITAN |
| G14 | DW-99-14 | MÂALI/5/1A.1D 5+1- 06/3*MOJO//RCOL/4/ARMENT//SRN_3/NIGRIS_4/3/CANELO_9.1/11/SELIM /10/RCOL/THKNEE_2/9/USDA595/3/D67.3/RABI//CRA/4/ALO/5/HUI/YAV_1/6/ARD ENTE/7/HUI/YAV79/8/POD_9 |
| G15 | DW-99-15 | ASA DE CORVO/4/ATIL/3/KNIPA/TAGUA//PLANETA/TRILE |
| G16 | DW-99-16 | ALTAR 84/STINT//SILVER_45/3/GUANAY/4/GREEN_14//YAV_10/AUK/5/GUAYACAN INIA/YEBAS_8 /3/TOPDY_18/FOCHA_1//ALTAR 84/6/CBC 514 CHILE/3/AUK/GUIL//GREEN |
| G17 | DW-99-17 | CBC 509 CHILE/6/ECO/CMH76A.722//BIT/3/ALTAR 84/4/AJAIA_2/5/KJOVE_1/7/AJAIA_12/ F3LOCAL (SEL.ETHIO.135.85)//PLATA_13/8/SOOTY_9/RASCON_37// WODUCK/CHAM_3*2/9/ HUBEI// SOOTY_9/RASCON_37/3/2*SOOTY_9/RASCON_37/4/2*SOOTY_9/RASCON_37 |
| G18 | DW-99-18 | SARAGOLLA/12/SOOTY_9/RASCON_37/3/SOOTY_9/TARRO_1//AJAIA_2/10/PLAT A_10/6/MQUE/4/USDA573//QFN/AA_7/3/ALBA-D/5/AVO/HUI/7/PLATA_13/8/ THKNEE_11/9/CHEN/ALTAR 84/3/ HUI /POC//BUB/RUFO/4/FNFOOT/11/RISSA/GAN//POHO_1/3/PLATA_3//CREX/ALLA/4/ JUPARE C 2001/5/ARMENT |
| G19 | DW-99-19 | T.DIC 1460/MEXI75//MEXI75/T.MONOC.2433/3/CEMEXI C 2008/4/SOOTY_9/RASCON_37 |
| G20 | DW-99-20 | Ter1//Mrf1/Stj2/3/lcasyrl |

نشان داده شده است. این نمودارها قابلیت شناسایی ژنتیپ‌های پایدار را دارند. همچنین در این نمودارهای گرمایی، عملکرد ژنتیپ‌ها در محیط بیانگر تنوع درون آن محیط است، به طوری که هر اندازه رنگ‌های مربوط به ژنتیپ‌های درون آن محیط متفاوت باشند، بیانگر تنوع بین ژنتیپ‌ها درون آن محیط‌ها است (Krimizadeh *et al.*, 2020; Zali *et al.*, 2021; Najafi Mirak *et al.*, 2023). بررسی پراکنش ژنتیپ‌ها در محیط‌های مورد بررسی در شکل ۱، نشان دهنده تفاوت ژنتیپ‌های مختلف گندم دوروم از نظر عملکرد دانه در یک محیط و همچنین تفاوت میانگین آن‌ها از محیطی به محیط دیگر است. بر مبنای شکل ۱، بیشترین عملکرد دانه در سال اول اجرای آزمایش در کرمانشاه (Ker1) (۸۴۴۱ کیلوگرم در هکتار) و کمترین عملکرد دانه در خرم‌آباد در سال اول (Kho1) (۵۶۴۸ کیلوگرم در هکتار) و کرج در سال دوم (Kar2) (۵۹۶۱ کیلوگرم در هکتار) مشاهده شد.

نتایج و بحث

نتایج تجزیه واریانس مرکب عملکرد دانه نشان داد اختلاف بین محیط‌های اجرای آزمایش، ژنتیپ‌ها و اثرات متقابل در سطح ۱ درصد معنی‌دار می‌باشد (جدول ۲). معنی‌دار بودن اثر ژنتیپ نشان داد که ژنتیپ‌های مورد بررسی از نظر عملکرد دانه متفاوت بوده و دارای تنوع می‌باشند. وجود اختلاف معنی‌دار بین عملکرد دانه در محیط‌های مختلف نشان می‌دهد پاسخ ژنتیپ‌ها در محیط‌های مورد بررسی یکسان نبوده و در محیط‌های مختلف، ژنتیپ‌های متفاوتی دارای بیشترین عملکرد دانه بوده‌اند. به عبارت دیگر وجود تنوع ژنتیکی برای عملکرد دانه، احتمال شناسایی ژنتیپ‌های مطلوب از نظر تطبیق با هر یک شرایط محیطی را افزایش می‌دهد. این نتیجه به طور مشخصی با پاسخ متفاوت هر یک از ژنتیپ‌ها و همچنین اثر متقابل آن‌ها با محیط قابل توجیه می‌باشد (Najafi Mirak *et al.*, 2018).

در شکل ۱ نمودار گرمایی پراکنش عملکرد دانه ژنتیپ‌های گندم دوروم در محیط‌های مورد بررسی

Table 2- The results of the combined variance analysis of the grain yield of durum wheat genotypes during two cropping years (2020-2022)

| S.O.V | df | Mean of square (MS) |
|-------------------|------|---------------------|
| Environment (Env) | 9 | 105840592** |
| Location (Loc) | 4 | 56052747** |
| Year | 1 | 66287208** |
| Loc × Year | 4 | 165516783** |
| Error1 | 20 | 829943 |
| Genotype (Gen) | 19 | 1401057** |
| Env × Gen | 171 | 1264069** |
| Gen × Loc | 76 | 1371042** |
| Gen × Year | 19 | 781552** |
| Gen × Loc × Year | 76 | 1277724** |
| Error | 380 | 314406 |
| CV (%) | 7.71 | |

**: Significant at the probability level of 1%

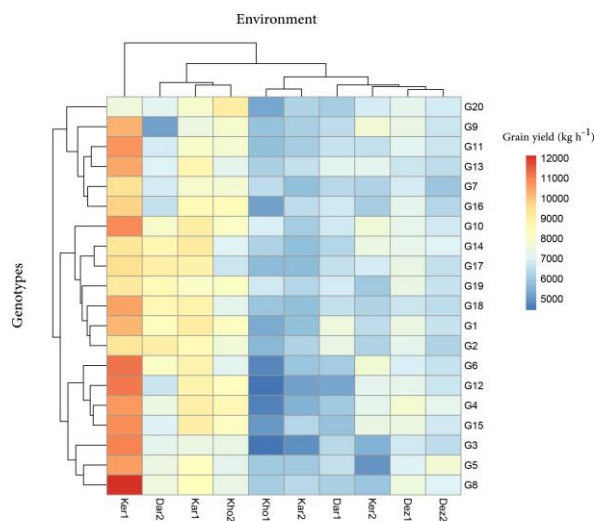


Figure 1. Heat map of grain yield distribution of 20 durum wheat genotypes in 10 investigated environments.

Environmental codes Dar, Ker, Dez, Kho and Kar represent the stations of Darab, Kermanshah, Dezful, Khoramabad and Karaj, respectively. The number 1 and 2 in the environmental codes are the first year (2020-2021) and the second year (2021-2022), respectively.

نمودار چند ضلعی شکل ۲A به منظور تعیین ژنوتیپ‌های برتر در محیط‌های مورد بررسی و مشخص نمودن محیط‌های بزرگ نشان داد که ژنوتیپ‌های ۱۲، ۹، ۲۰، ۹، ۲۰، ۱۹، ۱۸ و ۸ در رئوس چند ضلعی قرار دارند. قرار گرفتن ژنوتیپ ۱۳ نزدیک به مبدأ نشان می‌دهد که این ژنوتیپ در کلیه محیط‌ها دارای رتبه یکسانی بوده و به محیط‌های مورد بررسی واکنش نشان نمی‌دهد.

با توجه به بای‌پلات شکل ۲A، در این بررسی دو گروه محیطی مشخص گردید. اولین گروه محیطی شامل محیط‌های Kho1، Ker1، Dar1، Kho2 و Kar2 بود و دار2 بود و ژنوتیپ‌های ۱۷، ۱۸ و ۱۹ جزء ژنوتیپ‌های برتر در این محیط‌ها بودند. دومین گروه محیطی شامل Kho2، Ker1 و Dez2 بود و ژنوتیپ‌های ۱۲، ۹ و ۸ جزء ژنوتیپ‌های برتر در این محیط‌ها بودند (شکل ۲A).

زمانی که رتبه ژنوتیپ‌ها در محیط‌های مختلف متفاوت باشد تأیید کننده برهمکنش متقاطع است. از طرفی قرار گرفتن برخی از محیط‌های در گروه‌های مشابه نشان می‌دهد که رتبه ژنوتیپ‌ها در محیط‌های یک گروه خاص تغییرات زیادی ندارد که نشان دهنده برهمکنش غیرمتقاطع است (Yan and Tinker, 2005).

نتایج حاصل از GGE بای‌پلات نشان داد که مؤلفه‌های اصلی اول و دوم به ترتیب ۳۰/۲۶ و ۲۲/۹۱ درصد و در مجموع ۵۳/۱۷ درصد کل تغییرات را توجیه نمودند (شکل ۲). Yan and Tinker (2005) بیان نمودند درصد پایین توجیه تغییرات توسط مؤلفه‌های اصلی اول و دوم، به علت ماهیت پیچیده برهمکنش ژنوتیپ × محیط می‌باشد و لزوماً نیازگر غیرمعتبر بودن بای‌پلات نیست. Najafi (2023) در بررسی ۲۰ ژنوتیپ گندم دوروم در ۶ مکان با استفاده از مدل GGE بای‌پلات، سهم مؤلفه‌های اول و دوم را به ترتیب ۳۳/۳۶ و ۲۳/۷۲ درصد گزارش نمودند. در یک بررسی دیگر، محمدی و همکاران (2016) نیز سهم دو مؤلفه اول و دوم را به ترتیب ۳۲/۲ و ۱۶/۷ درصد در گندم دوروم گزارش کردند. نمایش چند ضلعی برهمکنش ژنوتیپ × محیط با استفاده از مدل GGE بای‌پلات در آزمایشات چند محیطی یکی از مناسب‌ترین روش‌ها برای مشاهده الگوهای برهمکنش ژنوتیپ × محیط می‌باشد (Yan et al., 2000). در نمودار چند ضلعی ژنوتیپ‌هایی که بیشترین فاصله را از مرکز بای‌پلات دارند ممکن است جزء بهترین یا ضعیف‌ترین ژنوتیپ‌ها در یک یا چند محیط باشند. بنابراین، بررسی

نچی میرک و همکاران: تجزیه پایداری عملکرد گندم دوروم با...

با تعیین مقدار همبستگی بین محیط‌ها در آزمایشات سازگاری، می‌توان محیط‌های مشابه را شناسایی و حذف نمود که این امر منجر به کاهش هزینه‌ها در برنامه‌های تحقیقاتی خواهد شد (Yan and Rajcan, 2002). مقایسه بردارهای محیطی مورد بررسی (شکل ۴) نشان داد که شرایط آب و هوایی در دو سال اجرای آزمایش در کرمانشاه، خرم‌آباد، دزفول و کرج با هم تفاوت داشته است (زاویه محیط‌ها نزدیک به ۹۰ درجه) و بنابراین، به عنوان محیط‌های مجزا در نظر گرفته می‌شوند و تنها در داراب شرایط آب و هوایی اجرای آزمایش در هر دو سال مشابه بوده است (زاویه بین Dar1 و Dar2 نزدیک به ۴۵ درجه). ویژگی مهم دیگر در بای‌پلات همبستگی بین محیط‌ها، قابلیت تمایز محیط‌ها است. قابلیت تمایز، یکی از ویژگی‌های مهم هر محیط بوده به طوری که محیط‌های فاقد قابلیت تمایز نمی‌توانند اطلاعات مفیدی در مورد ژنتیک‌های را ارائه کنند. در بای‌پلات همبستگی بین محیط‌ها، بردارهای بلندتر انحراف معیار بیشتر و در نتیجه قابلیت تمایز بیشتری دارند برای مناطق مورد بررسی نشان داد که محیط‌های Dar2 و Ker1 با بلندترین طول بردار محیطی نسبت به سایر محیط‌ها از قابلیت تمایز بالایی برخوردار هستند و از طرفی دزفول در سال اول و دوم (Dez1 و Dez2)، Kar2 و Ker2 با کمترین طول بردار محیطی نشان داد که از قابلیت تمایز پایینی برای ژنتیک‌ها برخوردار است. در تحقیقی به منظور بررسی اثر مقابل ژنتیک × محیط در گندم دوروم، دزفول از کمترین میزان تمایز برخوردار بود. همچنین آنها بیان کردند مناطق خرم‌آباد، داراب و کرج جزو مناطقی هستند که عمدهاً دارای قابلیت تمایز بالایی بوده و می‌توانند در آزمایشات بررسی ارقام در بین لاین‌ها و ارقام مورد بررسی تمایز مناسبی ایجاد نمایند (Najafi Mirak *et al.*, 2023).

شرایط این بررسی هر دو نوع برهمکنش متقاطع و غیرمتقاطع برای عملکرد دانه وجود دارد (شکل ۲A). به منظور بررسی هم‌زمان پایداری و عملکرد ژنتیک‌ها AEC; Average environment coordination استفاده شد (شکل ۲B). در این بای‌پلات، محوری که دارای یک پیکان است، از مبدأ مختصات می‌گذرد یانگر برهمکنش ژنتیک × محیط بوده و پایداری ارقام را تعیین می‌کند. هر چقدر تصویر لاین‌ها روی این محور بلندتر باشد نشان‌دهنده سهم بیشتر ژنتیک‌ها در برهمکنش ژنتیک × محیط است و Yan and Kang (2003). نتایج بای‌پلات (شکل ۲B) نشان داد ژنتیک‌های AEC، ۸، ۶، ۲، ۱۹ و ۱۲ با بیشترین تصویر روی محور C، ۱۰، ۵، ۱۳، ۱۸ و ۱۶ به ترتیب با کمترین تصویر روی محور AEC، پایداری بیشتری نسبت به سایر ژنتیک‌ها داشتند. کاربرد GGE بای‌پلات برای تعیین ژنتیک‌های پایدار در Mohammadi *et al.*, 2016؛ Pour-Ahmadi *et al.*, 2016؛ (Aboughadareh *et al.*, 2023)

به منظور تعیین ژنتیک ایده‌آل از بای‌پلات شکل ۳A استفاده شد. در این بای‌پلات ژنتیک ایده‌آل، ژنتیکی فرضی است که دارای بیشترین عملکرد و پایداری بوده و از نظر مکانی در مراکز دوایر متحده‌مرکز بای‌پلات قرار دارد. میزان مطلوبیت لاین‌ها به فاصله آن‌ها از ژنتیک مطلوب بستگی دارد (Yan, 2001). مقایسه ژنتیک‌های مورد بررسی با ژنتیک ایده‌آل (شکل ۳A) نشان داد که ژنتیک‌های ۱۸ و ۱۰ به ترتیب نزدیک‌ترین ژنتیک‌ها به ژنتیک ایده‌آل می‌باشد که علاوه بر عملکرد دانه بالا، دارای پایداری عملکرد بالایز هستند (شکل ۳A). از شکل ۳B به منظور رتبه‌بندی محیط‌های ایده‌آل مورد بررسی استفاده شد. نتایج نشان داد که Dar2 نزدیک‌ترین محیط به محیط ایده‌آل می‌باشد.

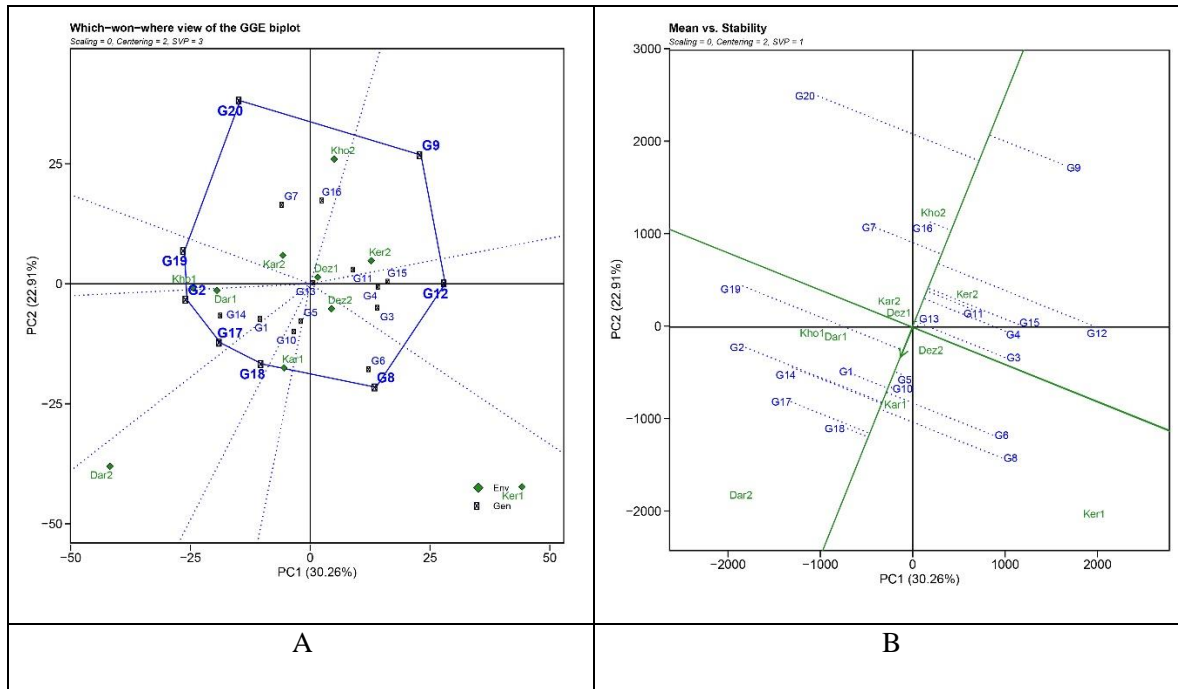


Figure 2. (A) Polygon of GGE biplot to determination durum wheat best promising lines, (B) Biplot of the average-environment coordination (AEC) for simultaneously, selection of seed yield and stability of durum wheat promising lines in 10 investigated environments.

Environmental codes Dar, Ker, Dez, Kho and Kar represent the stations of Darab, Kermanshah, Dezful, Khoramabad and Karaj, respectively. The number 1 and 2 in the environmental codes are the first year (2020-2021) and the second year (2021-2022), respectively.

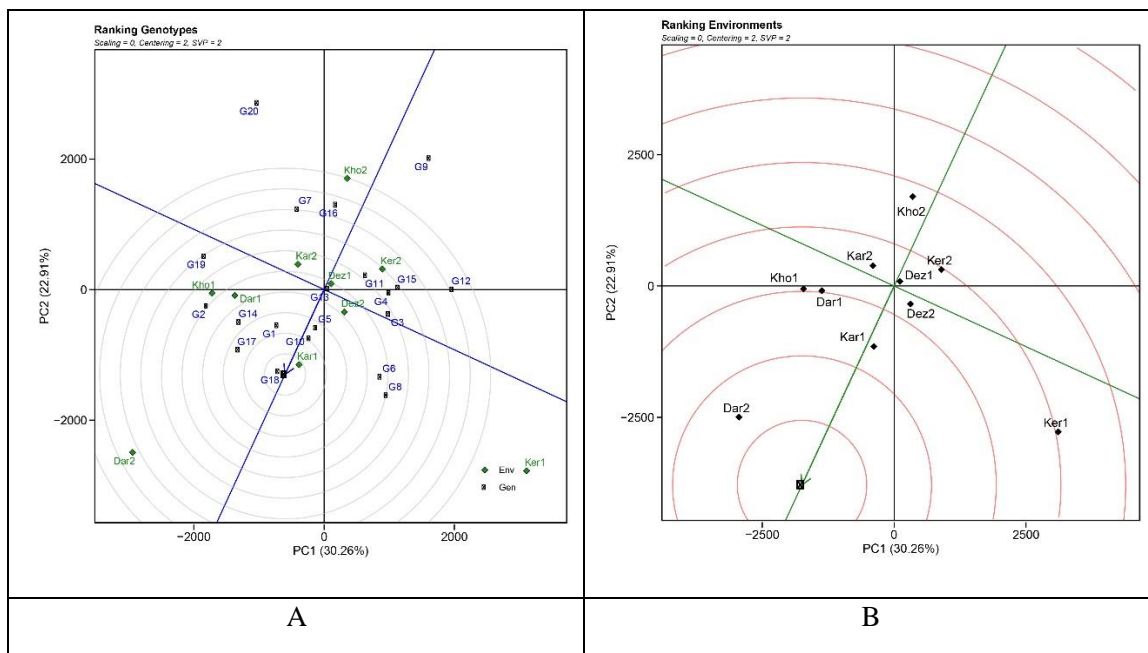


Figure 3. (A) Biplot of durum wheat genotypes comparison with ideal genotype based on seed yield and stability (B) Biplot of durum wheat genotypes comparison with ideal environment.

Environmental codes Dar, Ker, Dez, Kho and Kar represent the stations of Darab, Kermanshah, Dezful, Khoramabad and Karaj, respectively. The number 1 and 2 in the environmental codes are the first year (2020-2021) and the second year (2021-2022), respectively.

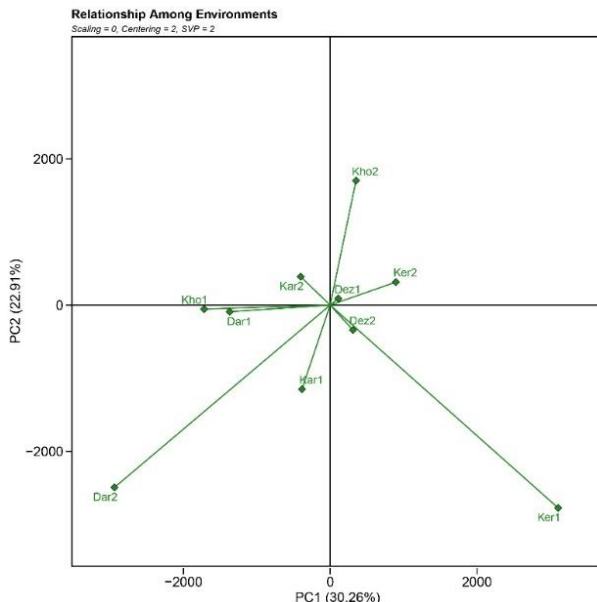


Figure 4. Biplot of correlation map among environment
Environmental codes Dar, Ker, Dez, Kho and Kar represent the stations of Darab, Kermanshah, Dezful, Khoramabad and Karaj, respectively. The number 1 and 2 in the environmental codes are the first year (2020-2021) and the second year (2021-2022), respectively.

ژنوتیپ‌ها در گروه دو قرار گرفتند (شکل ۶). در مجموع یک انطباق نسبی بین گروه‌بندی ژنوتیپ‌ها با استفاده از مدل SHMM و AMMI وجود داشت.
محیط‌هایی که در یک گروه قرار گرفتند، از نظر مقادیر برهمکنش ژنوتیپ × محیط نزدیک به هم بوده‌اند. براساس مدل SHMM، محیط‌ها با حداقل اثر متقاطع در یک گروه قرار می‌گیرند. به نظر می‌رسد قرار گرفتن کرمانشاه و دزفول در یک گروه نشان از مشابهت نسبی این مکان‌ها است که نشان از برهمکنش افزایشی یا غیر-متقاطع است. هم‌چنین این نتایج در مدل GGE با پلات SHMM تأیید شد. از روش SHMM به منظور گروه‌بندی محیط‌های با برهمکنش غیرمتقاطع اولین بار توسط Cornelius *et al.*, 1992 کورنلیوس و همکاران (Hernandez-Segundo *et al.*, 2009) استفاده شده است. کاربرد مدل SHMM در بررسی برهمکنش ژنوتیپ × محیط و دسته‌بندی محیط‌ها در گیاهان مختلف از جمله جو (Esmaeilzadeh *et al.*, 2009) گندم نان (Cornelius *et al.*, 1992) و

برهمکنش ژنوتیپ × محیط با استفاده از مدل SHMM نیز تجزیه شد. در جدول ۳ مراحل دسته‌بندی محیط‌ها شامل دسته‌های مشترک و معیار فاصله آن‌ها با استفاده از مدل SHMM نشان داده شده است. مطابق با جدول ۳، مقادیر فاصله محیط‌ها بین ۰/۲۷۸ تا ۰/۰۸۱۸، مقدار فاصله محیط‌ها بر مبنای مدل SHMM قرار داشت. گروه‌بندی محیط‌ها بر مبنای مدل SHMM و قطع دنдрوگرام در نقطه ۰/۰۸۱۸ (جدول ۳)، دو گروه از محیط‌ها را مشخص کرد (شکل ۵). گروه اول شامل داراب (Dar1 و Dar2) و کرج (Kar1 و Kar2) و محیط Kho1 بود. در گروه ۲ کرمانشاه (Ker2) و دزفول (Dez1 و Dez2) و محیط Kho2 قرار گرفتند. نتایج نشان داد دسته‌بندی محیط‌ها بر اساس مدل SHMM کاملاً با مدل GGE با پلات SHMM و گروه‌بندی ژنوتیپ‌ها بر مبنای مدل SHMM و قطع دندروگرام در نقطه ۰/۰۸۱۸، دو گروه از ژنوتیپ‌ها را مشخص کرد. گروه اول شامل ژنوتیپ‌های ۱، ۲، ۱۸، ۲۰، ۲۱، ۲۴، ۱۷، ۱۹، ۱۶، ۱۱، ۸، ۳، ۲۰ و ۵ بودند و سایر

بودن مناطق داراب و دزفول میانگین ارتفاع بوته در این مناطق از سایر مناطق سردسیر و معتدل بیشتر بود. بیشترین و کمترین میانگین وزن هزار دانه به ترتیب مربوط به داراب (۵۲ گرم) و کرمانشاه (۳۲ گرم) بود. هر چند کرمانشاه جزء مناطق سردسیر می‌باشد ولی کاهش میانگین وزن هزار دانه نشان‌دهنده تنش‌های محیطی از جمله خشکی و گرما در زمان پر شدن دانه می‌باشد که منجر به کاهش وزن هزار دانه در این منطقه شده است.

در هیچ کدام از مناطق مورد بررسی بیماری‌های گیاهی گزارش نشده است. همچنین در مناطق داراب، کرج و خرم‌آباد خوابیدگی بوته مشاهده نشد. ولی در دزفول و کرمانشاه خوابیدگی بوته گزارش شده است که بیشترین میانگین خوابیدگی بوته (۲۷ درصد) در کرمانشاه مشاهده شد. در این منطقه ژنوتیپ‌های ۵ و ۱۱ به ترتیب با ۵۹ و ۵۵ درصد بیشترین خوابیدگی بوته را نشان دادند. در دزفول میانگین شدت خوابیدگی بوته‌ها ۹/۳ درصد بود (نتایج نشان داده نشده است).

(Moghadam *et al.*, 2018) و عدس (Karimizadeh and Mohammadi, 2015) گزارش شده است. در تحقیقی به منظور بررسی پایداری عملکرد دانه در ژنوتیپ‌های گندم نان در مناطق گرم و خشک و هم‌چنین دسته‌بندی محیط‌های مورد بررسی از روش SHMM استفاده شد. در این تحقیق ۱۲ محیط مورد بررسی در گروه ۳ قرار گرفتند (Esmaeilzadeh *et al.*, 2018).

میانگین صفات تعداد روز تا ظهر سنبله، تعداد روز تا رسیدگی، ارتفاع بوته و وزن هزار دانه مربوط به مناطق مختلف مورد بررسی در جدول ۴ نشان داده شده است. نتایج نشان داد کمترین میانگین طول دوره ظهر سنبله به ترتیب مربوط به دزفول و داراب (۹۸ و ۱۰۷ روز) می‌باشد و بیشترین میانگین طول دوره ظهر سنبله به ترتیب در کرمانشاه و کرج (۱۷۴ و ۱۷۲ روز) مشاهده شد. از طرفی هم کمترین میانگین طول دوره رسیدگی مربوط به مناطق دزفول و داراب بود ولی میانگین طول دوره پر شدن دانه در داراب کوتاه‌تر از درفول بود که این مطلب احتمالاً به دلیل شرایط اقلیمی می‌باشد. با وجود گرسیز

Table 3. Clustering steps of SHMM procedure

| Step | Jointed clusters | | No. environment | Distance |
|------|------------------|------|-----------------|----------|
| 9 | Dez1 | Kho2 | 2 | 0.278 |
| 8 | Kho1 | Kar2 | 2 | 0.492 |
| 7 | Der1 | Dez2 | 2 | 0.573 |
| 6 | Kar1 | Dar1 | 2 | 0.645 |
| 5 | Dar1 | CL8 | 3 | 0.816 |
| 4 | CL9 | Ker2 | 3 | 1.112 |
| 3 | CL5 | CL6 | 5 | 2.106 |
| 2 | CL4 | CL7 | 5 | 2.518 |
| 1 | CL3 | CL2 | 10 | 2.818 |

Environmental codes Dar, Ker, Dez, Kho and Kar represent the stations of Darab, Kermanshah, Dezful, Khoramabad and Karaj, respectively. The number 1 and 2 in the environmental codes are the first year (2020-2021) and the second year (2021-2022), respectively.

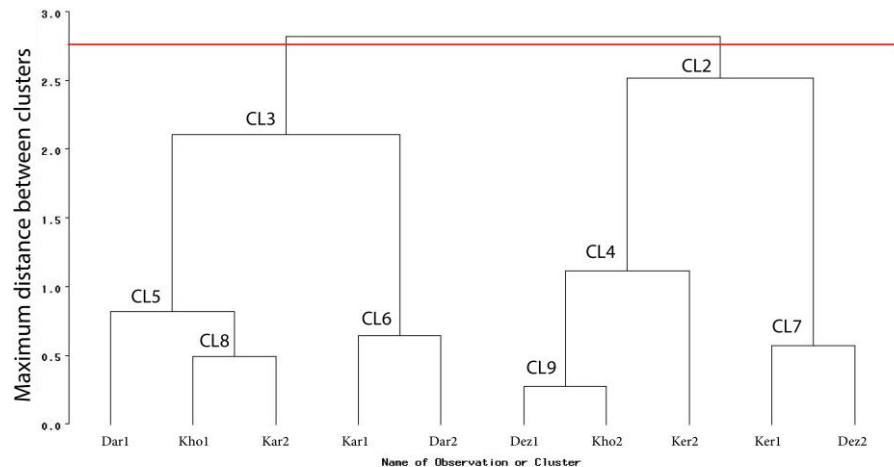


Figure 5. Classification of environments based on SHMM model

Environmental codes Dar, Ker, Dez, Kho and Kar represent the stations of Darab, Kermanshah, Dezful, Khoramabad and Karaj, respectively. The number 1 and 2 in the environmental codes are the first year (2020-2021) and the second year (2021-2022), respectively.

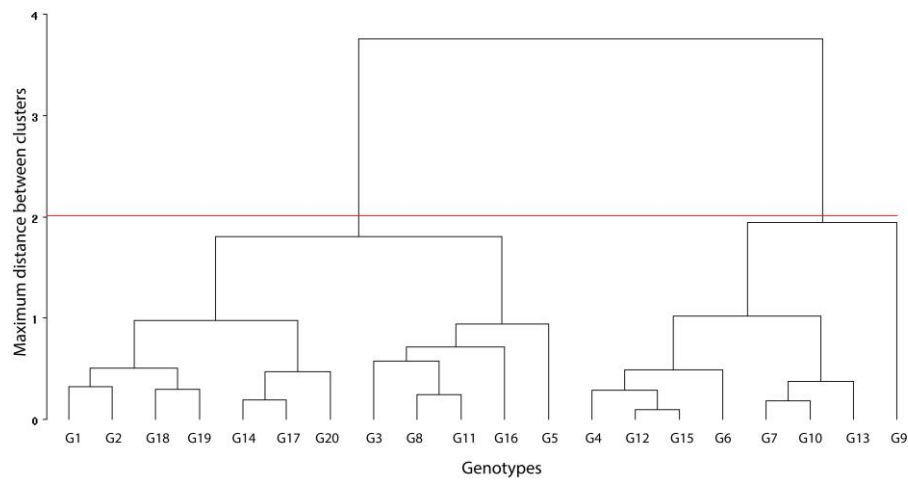


Figure 6. Classification of genotypes based on SHMM model

Table 4. The average morphological traits studied in different regions in the cropping years 2020-2022

| Genotypes | Days to spike emergence | | | | | | Days to maturity | | | | | | Plant height (cm) | | | | | | Thousand grain weight (g) | | | | | |
|-----------|-------------------------|-----|-----|-----|-----|------|------------------|-----|-----|-----|-----|------|-------------------|-----|-----|-----|-----|------|---------------------------|-----|-----|-----|-----|------|
| | Dar | Dez | Kar | Ker | Kho | Mean | Dar | Dez | Kar | Ker | Kho | Mean | Dar | Dez | Kar | Ker | Kho | Mean | Dar | Dez | Kar | Ker | Kho | Mean |
| G1 | 107 | 100 | 174 | 175 | 143 | 140 | 146 | 147 | 219 | 212 | 182 | 181 | 101 | 94 | 80 | 87 | 76 | 87 | 52 | 42 | 45 | 32 | 44 | 43 |
| G2 | 108 | 99 | 175 | 175 | 145 | 140 | 147 | 147 | 218 | 213 | 182 | 181 | 98 | 94 | 87 | 91 | 78 | 89 | 52 | 43 | 51 | 31 | 39 | 43 |
| G3 | 106 | 102 | 167 | 172 | 143 | 138 | 143 | 146 | 214 | 212 | 184 | 180 | 100 | 96 | 77 | 91 | 72 | 87 | 46 | 44 | 50 | 32 | 39 | 42 |
| G4 | 105 | 94 | 172 | 174 | 144 | 138 | 144 | 146 | 217 | 212 | 183 | 180 | 91 | 94 | 80 | 94 | 80 | 88 | 57 | 47 | 56 | 36 | 46 | 48 |
| G5 | 106 | 96 | 169 | 174 | 142 | 137 | 144 | 143 | 218 | 213 | 183 | 180 | 92 | 99 | 80 | 86 | 77 | 87 | 49 | 44 | 43 | 34 | 38 | 42 |
| G6 | 105 | 96 | 172 | 174 | 141 | 138 | 143 | 144 | 216 | 211 | 181 | 179 | 93 | 91 | 82 | 92 | 74 | 86 | 56 | 49 | 55 | 36 | 44 | 48 |
| G7 | 107 | 97 | 173 | 175 | 143 | 139 | 146 | 145 | 217 | 212 | 185 | 181 | 91 | 93 | 78 | 92 | 74 | 86 | 49 | 45 | 51 | 33 | 42 | 44 |
| G8 | 105 | 96 | 171 | 174 | 143 | 138 | 146 | 144 | 218 | 213 | 184 | 181 | 89 | 96 | 77 | 85 | 74 | 84 | 51 | 43 | 43 | 34 | 38 | 42 |
| G9 | 108 | 98 | 174 | 175 | 144 | 140 | 148 | 147 | 219 | 213 | 185 | 182 | 93 | 95 | 77 | 86 | 76 | 85 | 50 | 41 | 48 | 30 | 38 | 41 |
| G10 | 107 | 95 | 168 | 175 | 141 | 137 | 146 | 145 | 217 | 213 | 183 | 181 | 92 | 92 | 77 | 89 | 79 | 85 | 58 | 46 | 56 | 33 | 46 | 48 |
| G11 | 105 | 95 | 175 | 174 | 142 | 138 | 144 | 143 | 217 | 212 | 183 | 180 | 93 | 89 | 80 | 90 | 77 | 86 | 52 | 39 | 46 | 30 | 38 | 41 |
| G12 | 106 | 98 | 174 | 174 | 144 | 139 | 143 | 145 | 218 | 211 | 185 | 180 | 92 | 90 | 78 | 93 | 79 | 86 | 50 | 42 | 54 | 34 | 44 | 45 |
| G13 | 105 | 97 | 171 | 174 | 146 | 139 | 145 | 146 | 219 | 212 | 184 | 181 | 91 | 89 | 78 | 82 | 83 | 85 | 55 | 46 | 51 | 33 | 40 | 45 |
| G14 | 110 | 107 | 170 | 177 | 149 | 142 | 149 | 148 | 216 | 212 | 188 | 183 | 92 | 93 | 78 | 90 | 84 | 87 | 48 | 44 | 49 | 32 | 42 | 43 |
| G15 | 108 | 99 | 171 | 176 | 144 | 140 | 146 | 147 | 217 | 213 | 187 | 182 | 91 | 86 | 82 | 87 | 79 | 85 | 51 | 43 | 48 | 33 | 40 | 43 |
| G16 | 107 | 97 | 175 | 175 | 145 | 140 | 146 | 147 | 219 | 213 | 190 | 183 | 92 | 93 | 87 | 91 | 83 | 89 | 50 | 46 | 27 | 32 | 41 | 39 |
| G17 | 107 | 94 | 168 | 174 | 143 | 137 | 147 | 144 | 217 | 210 | 187 | 181 | 94 | 87 | 75 | 88 | 78 | 84 | 48 | 40 | 47 | 29 | 37 | 40 |
| G18 | 105 | 95 | 167 | 174 | 141 | 136 | 146 | 147 | 218 | 213 | 185 | 181 | 90 | 88 | 75 | 83 | 75 | 82 | 51 | 41 | 50 | 31 | 44 | 43 |
| G19 | 110 | 105 | 176 | 176 | 145 | 142 | 149 | 149 | 220 | 213 | 190 | 184 | 93 | 95 | 88 | 88 | 75 | 88 | 45 | 40 | 46 | 29 | 43 | 41 |
| G20 | 105 | 98 | 174 | 174 | 146 | 139 | 144 | 149 | 218 | 211 | 188 | 182 | 92 | 92 | 83 | 89 | 77 | 87 | 61 | 51 | 61 | 36 | 53 | 52 |
| Mean | 107 | 98 | 172 | 174 | 143 | 139 | 145 | 146 | 218 | 212 | 185 | 181 | 93 | 92 | 80 | 89 | 77 | 86 | 52 | 44 | 49 | 32 | 41 | 44 |

Environmental codes Dar, Ker, Dez, Kho and Kar represent the stations of Darab, Kermanshah, Dezful, Khoramabad and Karaj, respectively.

دانه بالا و پایداری عملکرد هستند. این لاین‌ها در آزمایشات تحقیقی- ترویجی در شرایط زارعین مورد بررسی بیشتر قرار گرفته و هر کدام از آنها که در مزارع زارعین نیز برتری خود را نشان دهد به عنوان رقم جدید برای اقلیم‌های گرم و معتدل کشور معرفی خواهند شد.

سپاس گزاری

پژوهش حاضر حاصل نتایج پروژه مصوب موسسه اصلاح و تهیه نهال و بذر به شماره ۹۹۱۱۰۹-۱۳۰-۰۳-۰۳-۰ می‌باشد. نویسنده‌گان مقاله از موسسه مذبور به دلیل حمایت‌های مالی و معنوی در اجرای پروژه فوق و همچنین همکاران ایستگاه‌ها و مراکز تحقیقاتی که در اجرای این پروژه مارا باری نموده‌اند کمال تشکر و قدردانی می‌شود.

نتیجه‌گیری

تمام محیط‌های مورد بررسی کشت گندم دوروم به دو گروه محیطی گروه‌بندی شدند. گروه اول شامل داراب (Dar1) و کرج (Kar2) و Kar1 و Kho1 بود. در گروه دوم کرمانشاه (Ker2) و Ker1، دزفول (Dez1) و Dez12 و محیط Kho2 قرار گرفتند. نتایج نشان داد دسته‌بندی محیط‌ها بر اساس مدل SHMM کاملاً با مدل GGE با پلات انطباق داشت. همچنین، نتایج نشان داد که محیط‌های Ker1 و Dar2 نسبت به سایر محیط‌ها از قابلیت تمایز بالایی برخوردار بودند و از طرفی دزفول در سال اول و دوم (Dez1) و (Dez2)، Kar2 و Ker2 قابلیت تمایز پایینی برای GGE ژنوتیپ‌ها از خود نشان دادند. در نهایت نتایج با پلات نشان داد که ژنوتیپ‌های DW-99-18 (18) و DW-99-10 (10) جزء بهترین ژنوتیپ‌ها از نظر عملکرد

References

- Ahmadi, A., Omidi, M., Alizadeh, B., & Shah nejat Bushehri, A.A. (2021). Evaluation of adaptation and sustainabilit of winter oilseed rape mutant lines in cold and mild cold regions of Iran by GGE biplot method. *Plant Productions*, 44(3), 345-355.
- Amelework, A.B., Bairu, M.W., Marx, R., Laing, M., & Venter, S.L. (2023). Genotype × environment interaction and stability analysis of selected cassava cultivars in South Africa. *Plants*, 12, 2490.
- Anderson, T., & Lee, C. R. (2014). Strong selection genome-wide enhances fitness trade-offs across environments and episodes of selection. *Evolution*, 68, 16–31.
- Barati, A., Zali, H., Lakzadeh, I., Koohkan, Sh., Jafarby, J., Hosseinpour, A., Jabari, M., Marzoghiyan, A., & Kheirgo, M. (2020). Evaluation of yield stability of barley promising lines using AMMI SHMM methods. *Cereal Research*, 10(3), 245-257. [In Persian]
- Baye, T. M., Abebe, T., & Wilke, R.A. (2011). Genotype–environment interactions and their translational implications. *Per Med*, 8(1), 59-70.
- Crossa, J., Cornelius, P., Seyedsadr, M., & Byrne, P. (1993). A shifted multiplicative model cluster analysis for grouping environments without genotypic rank change. *Theoretical and Applied Genetics*, 85, 577-586.
- Crossa, J., & Cornelius, P. L. (1993). Recent developments in multiplicative models for cultivar trials. In International Crop Science I, Buxton DR, Shibles R, Forfberg RA, Blad BL, Asay KH, Paulsen GM, Wilson RF (Eds.), pages 571-577. Crop Science Society of America, Madison, Wisconsin.
- Cornelius, P. L., Seyedsadr, M., & Crossa, J. (1992). Using the shifted multiplicative model to search for "reparability" in crop cultivar trials. *Theoretical and Applied Genetics*, 84, 161-172.
- Dastfal, M., Aghaee-Sarbarreh, M., & Zali, H. (2022). Genetic diversity and selection of durum wheat pure lines with desirable agronomy traits using SIIG index. *Iranian Journal of Field Crop Science*, 53(1), 161-174. [In Persian]

- Esmailzadeh Moghaddam, M., Tahmasebi, S., Ayeneh, G.A.L.A., Akbari Moghadam, H., Mahmoudi, K., Sayyahfar, M., Tabib Ghaffari, S.M. & Zali, H. (2018). Yield stability evaluation of bread wheat promising lines using multivariate methods. *Cereal Research*, 8(3), 333-344. [In Persian]
- Gauch, H.G. (2006). Statistical analysis of yield trials by AMMI and GGE. *Crop Science*, 46, 1488-1500.
- Gauch, H.G. (2013). A simple protocol for AMMI analysis of yield trials. *Crop Science*, 53, 1860-1869.
- Gonzalez-Segura, E., Magaña-Barajas, E., Torres-Chávez, P.I., Manthey, F., & Ramírez-Wong, B. (2014). Characterization of the dynamic viscoelastic behavior of semolina dough obtained from mexican durum Wheat cultivars. *Advanced Chemical Engineering*, 3, 58-63.
- Hernandez-Segundo, E., Capettini, F., Trethowan, R., Ginkel, M., Mejia, A., Carballo, A., Crossa, J., Vargas, M., & Balbuena-Melgarejo, A. (2009). Mega-environment identification for barley based on twenty-seven years of global grain yield data. *Crop Science*, 49, 1705-1718.
- Hossain, M.A., Sarker, U., Azam, M.G., Kobir, M.S., Roychowdhury, R., Ercisli, S., Ali, D., Oba, S., & Golokhvast, K.S. (2023) Integrating BLUP, AMMI, and GGE models to explore GE interactions for adaptability and stability of winter lentils (*Lens culinaris Medik.*). *Plants*, 12, 2079.
- International Grains Council. (2021). IGC, International Grains Council. Accessed on 15 January 2023. Available online: <https://www.igc.int/en/default.aspx>.
- Karimizadeh, R., & Mohammadi, M. (2015). Using SHHM model for clustering test environments of lentil in multi-environmental trials. *Current Opinion in Agriculture*, 4(1), 33-37.
- Karimizadeh, R., Pezeshkpour, P., Barzali, M., Mehraban, A., & Sharifi, P. (2020). Evaluation the mean performance and stability of lentil genotypes by combining features of AMMI and BLUP techniques. *Journal of Crop Breeding*, 12 (36), 160-170. (In Persian)
- Linus, R.A., Olanrewaju, O.S., Oyatomi, O., Idehen, E.O., & Abberton, M. (2023) Assessment of yield stability of bambara groundnut (*Vigna subterranea* (L.) Verdc.) using genotype and genotype–environment interaction biplot analysis. *Agronomy*, 13, 2558.
- Mohammadi, R., Armin, M., Sadeghzadeh, B., Golkari, S., Khalilzadeh, Gh., Ahmadi, H., Abedi-Asl, Gh., & Eskandari, M. (2016). Assessment of grain yield stability and adaptability of rainfed durum wheat breeding lines. *Applied Field Crops Research*, 29 (4), 25-42. [In Persian].
- Najafi Mirak, T., Dastfal, M., Andarzian, B., Farzadi, H., Bahari, M., & Zali, H. (2018). Evaluation of durum wheat cultivars and promising lines for yield and yield stability in warm and dry areas using AMMI model and GGE biplot. *Journal of Crop Breeding*, 10 (28), 1-12
- Najafi Mirak, T., Dastfal, M., Sasani, Sh., Sayyahfar, M., Farzadi, H., Naghipour, F., & Zali, H. (2023). Selection of promising durum wheat lines based on grain yield and yield stability using graphic methods and quality indexes. *Crop Production Journal*, 16 (3), 91-108.
- Olivoto, T. & Nardino, M. (2020). MGIDI: A novel multi-trait index for genotype selection in plant breeding. *Bioinformatics*, 1-22.
- Pour-Aboughadareh, A., Koohkan, S., Zali, H., Marzooghian,A., Gholipour, A., Kheirgo, M., Barati, A., Bocianowski, J., & Askari-Kelestani, A. (2023). Identification of high-yielding genotypes of barley in the warm regions of Iran. *Plants*, 12, 3837.
- Rodrigues, P.C., Malosetti, M., Gauch, H.G., & van Eeuwijk, F.A. (2014). A Weighted AMMI Algorithm to Study Genotype-by-Environment Interaction and QTL-by-Environment Interaction. *Crop Science*, 54, 1555–1570.
- Yan, W., & Rajcan, I. (2002). Biplot analysis of sites and trait relations of soybean in Ontario. *Crop Science*, 42, 11-20.
- Seyedsadr, M., & Cornelius, P. L. (1992). Shifted multiplicative model for nonadditive two-way tables. *Communications in Statistics - Simulation and Computation*, 21: 807-822.
- Taleghani, D., Rajabi, A., Saremirad, A., & Khodadadi, Sh. (2023). Genotype - environment interaction analysis and selection of sugar beet stable genotypes in terms of white sugar yield using AMMI model. *Plant Productions*, 46(2), 155-169.

نجفی میرک و همکاران: تجزیه پایداری عملکرد گندم دوروم با...

- Threthrowan, R. M., Ginkel, M. V., Ammar, K., Crossa, J., Payne, T. S., Cukadar, B., Rajaram, S., & Hernandez, E. (2003). Associations among twenty years of international bread wheat yield evaluation environments. *Crop Science*, 43, 1698-1711.
- Yan, W. (2001). GGEbiplot-A widows application for graphical analysis of multienvironment trial data and other types of two-way data. *Agronomy Journal*, 93, 1111-1118.
- Yan, W., Hunt, L.A., Sheny, Q., & Szlavnics, Z. (2000). Cultivar evaluation and mega-environment investigation based on the GGE biplot. *Crop Science*, 40, 597- 605.
- Yan, W., & Kang, M. S. (2003). GGE biplot analysis: A graphical tool for breeders, Geneticists and agronomists. CRC Press, Boca Raton, FL.
- Yan, W., & Rajcan, I. (2002). Biplot analysis of sites and trait relations of soybean in Ontario. *Crop Science*, 42, 11-20.
- Yan, W., & Tinker, N.A. (2005). An integrated biplot analysis system for displaying, interpreting and exploring genotype × environment interaction. *Crop Science*, 45, 1004-1016.
- Zali, H., Barati, A., & Jabari, M. (2021). Evaluation of variation at barley inbred lines (*Hordeum vulgare* L.) using SIIG Index. *Journal of Crop breeding*, 13 (39), 179-194.